

エポキシ樹脂混合物の動的応答に関する一考察

北海道工業大学	正員	○小山 泥舟
"	学生員	飯沢 正博
"	"	石井 徹
"	正員	間山 正一

1. 概説

近年、新しい舗装材料としてエポキシ樹脂を基材とする材料が注目され、重交通の舗装や橋面舗装の材料に実用化されている。筆者等は舗装材料としてのエポキシ樹脂バインダー（樹脂、硬化剤、添加剤の混合をいう）およびエポキシ樹脂混合物（バインダーと骨材の混合をいう）の基礎的力学特性の実験・研究を実施中であるが（1,2）、本論文においては樹脂（主剤）、硬化剤および熱変形温度の異なる2種のエポキシ樹脂混合物（以下、混合物と呼ぶ）についてひずみ制御式による動的載荷^①を試み、主として变形係数に注目してその力学特性を明らかにしたい。

2. 実験材料および使用機器

表-1に2種類のバインダーの成分とそれそれの配合（A配合とP配合とする）、表-2に骨材（砂）の粒度配合と比重を示す。なお、バインダー：砂の配合重量比は1:4（バインダー量20%）である。供試体の作成は室温（18~20°C）で手練りしたのち、型枠に流し込み、コテ仕上げをして23°C、3週間養生とした。コテ仕上げによって得られた供試体の空隙率はばらつきが多いので、18~21%のものを選んで試験に用いた。

次に実験は写真-1に示す108型ダイナミックサイクラー（米国インストロン社製）を使用した。

機能としては

- a. 試験法：動的-曲げ・引張・圧縮・剪断
- 静的-曲げ・引張・圧縮・剪断
- b. 制御方式：ひずみおよび应力双方向からの純正サーキット制御方式
- c. 波形：正弦波・三角波・矩形波・ランプ
- d. 最大許容荷重： $\pm 5000 \text{ kg}$
- e. 周波数：正弦波で 0.01~30 Hz ランプを利用した静的載荷速度は最大 8% /sec まで可能
- f. 最大変位振幅： $\pm 50 \text{ mm}$

なお、温度制御は -60°C ~ 200°C とし (±25°C)

表-1 バインダーの成分と配合

配合	成 分	主剤	硬化剤
A配合	ビスフェノールA型ジカルボン酸エーテル	70	—
	ビスフェノールA側鎖ジカルボン酸エーテル	30	—
	液体脂肪族アミン	—	25
P配合	ビスフェノールA型エポキシ樹脂	80	—
	ベンジルアルコール	20	—
	ポリアミド樹脂	—	45
	トリス(ジメチルアミノメチル)フェノール	—	5

熱変形温度(H.D.T)：A配合 = 42°C P配合 = 58°C

ここで熱変形温度(H.D.T)とは試験片に一定荷重を加えて温度を上昇させ、0.254 mm のたれみを生ずる時の温度をいう

表-2 骨材の粒度配合

骨材粒度 mm	通過重量百分率 %	比重
1.2	100	2.516
0.6	55	2.499
0.3	15	2.467
0.15	0	

が可能な空気槽を使用した。

3. 試験法および解析法

供試体が折旋温度に達した後、正弦的に変化する引張・圧縮ひずみを入力とし(図-1)、その時の動的応答として応力(荷重)と位相角を得る。これらデータから複素弾性率、動的弾性率、損失弾性率、損失正接、複素粘性率、等の各種動的性状を得るが本論文においては、変形係数(スティフネス)カーブであろう複素弾性率、 E^* 、に注目して論ずる。なお、試験条件は実際の舗装材料があわせてる環境条件を十分に網羅すると思われる範囲、すなはち周波数 $\nu = 0.01 \sim 10 \text{ Hz}$ (載荷時間中に換算して $15.9 \sim 0.016 \text{ 秒}$)、温度は $20 \sim 80^\circ\text{C}$ の範囲、設定ひずみは $1.5 \times 10^{-4} (\text{cm})$ および $3.0 \times 10^{-4} (\text{cm})$ の2種で実験を行なった。

計算式は以下の式によった。

$$P = \frac{P}{ab} \quad a: \text{供試体の奥行き (cm)}$$

$$\epsilon = \frac{\Delta l}{l} \quad b: \text{供試体の幅 (cm)}$$

P : 荷重 (kg)

l : スパン (cm)

Δl : 変位 (cm)

なお、載荷部の詳細図を図-1に示す。

4. 実験結果

載荷周波数および温度をえた実験から得られた結果のうち、A配合の複素弾性率を図-2に、P配合の複素弾性率を図-3に、載荷時間の関数として示す。

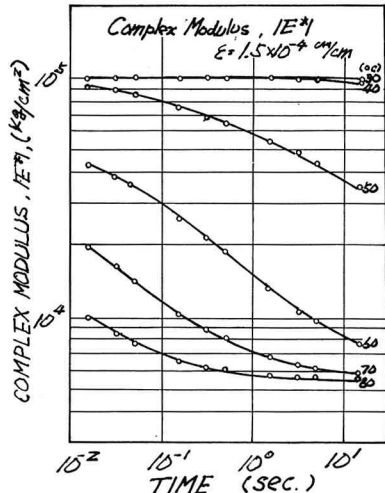


図-2 A配合の E^* と載荷時間の関係

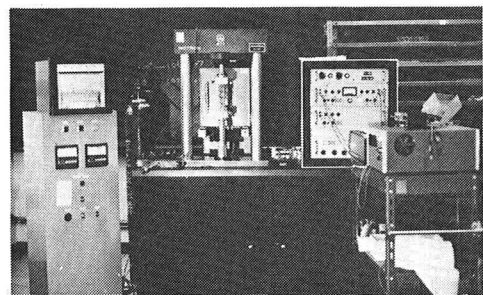


写真-1 108型ダイナミクサイクターの全体図

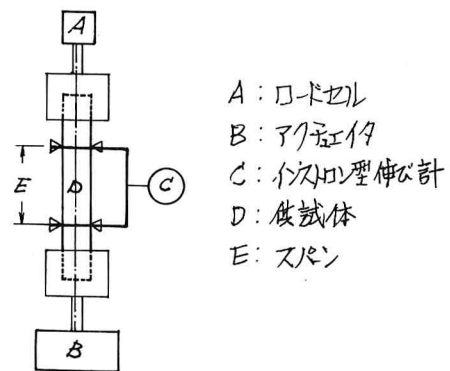


図-1 載荷部

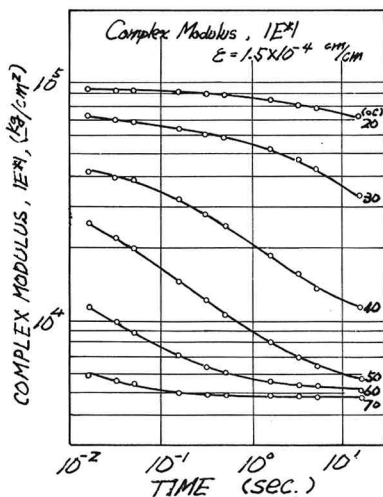


図-3 P配合の E^* と載荷時間の関係

温度と時間の関数として得られた各種動的性状に換算変数法（時間・温度重ね合せの原理）が適用できることと
はすでに筆者等が確認しているので^{1),2)}、図-2と図-3に示した複素弾性率にこの手法を適用する。その結果、図-4に示すようなマスターカーブと図-5に示すようなシフトファクタが得られた。

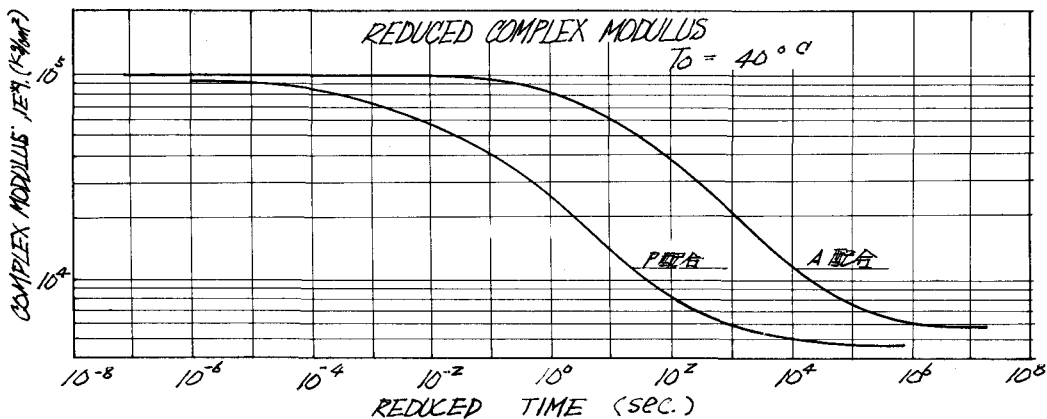


図-4 $|E^*|$ と載荷時間の関係を示すマスターカーブ ($T_0 = 40^\circ\text{C}$)

5. 考察および結論

図-2および図-3に示した複素弾性率は与えたひずみが 1.5×10^{-4} (cm/cm) の場合であるが、このひずみの2倍にあたる 3.0×10^{-4} (cm/cm) のひずみを入力とした場合に得られた複素弾性率もほぼ同一であった。この事実は両ひずみ領域が線形範囲内であることを示すといえよう。

明らかに温度による弾性率の低下が観察され、特に熱変形温度付近から急激な弾性率の低下を示す。熱変形温度の定義からして当然のことといえよう。

載荷時間による複素弾性率の変化をきめて大きい。図-2に示すP配合より図-3に示すA配合の方がより低温側で載荷時間依存性を示しているが、これはいわゆる“よりやわらかい”材料しかるに熱変形温度が低い (16°C の差がある)ためと思われる。

A配合はほぼ 20°C で上限値、 80°C で下限値を得た。同様にP配合はほぼ 20°C で上限値、 70°C で下限値を得た。これらの下限値を示す温度は奥際の舗装材料（舗装体）がおかれうる温度より高温であるが、下限値を得られた意義はきめて大きく、たとえば設計への入力として意義をもつであろう。

次に時間・温度重ね合せの原理を適用して得られたマスターカーブおよびシフトファクターは図-4および図-5に示したが、いずれもなめらかな曲線である。このことはすでに確かめられているが換算変数法の適用の妥当性を確認するものである。

A配合については16オーダの載荷時間領域、P配合については14オーダの載荷時間領域にわたって、いずれも上・下限値をもつマスターカーブを得たが、図-5に示すシフトファクタ vs 温度曲線から基準温度 ($T_0 = 40^\circ\text{C}$)以外の温度についても同様の曲線が描けることはいうまでもない。

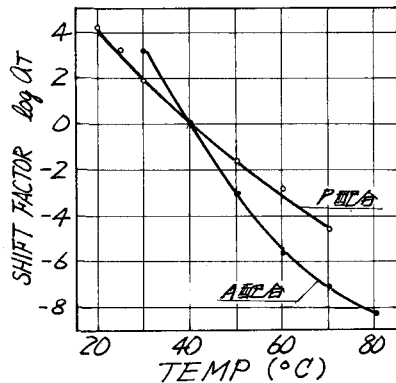


図-5 シフトファクターと温度の関係

これらより考察から次のような結論が、A配合、P配合の両配合に共通して得られたよう。

- (a) エポキシ樹脂と砂の混合であるエポキシ樹脂混合物に動的載荷を試みた結果、温度および載荷時間に依存する複素弾性率を得た。高温および長時間載荷になると複素弾性率の低下がみられる。
- (b) 1.5×10^{-4} (cm), 3.0×10^{-4} (cm) の両ひずみレベルにおいて得られた複素弾性率の値に相違はみられないかった。これは両ひずみが線形領域内にあるといえよう。
- (c) 換算変数法の適用によって広範囲の載荷時間領域にわたってなめらかな複素弾性率のカーブおよびシフトファクタが得られた。
- (d) 上・下限値をもつ複素弾性率が得られたことは設計への適用の意味からも重要である。
- (e) A配合より配合のマスター・カーブ(図-4)から同一載荷時間における複素弾性率の値は熱変形温度の高いA配合が大きい。

1) 間山正一：エポキシ樹脂モルタルの力学性状-主として動的性状について-, 道路建設, No.329, pp. 52~57, 1975

2) 間山正一：引張圧縮試験によるエポキシ樹脂混合物の動的力学性状, 第19回材料研究連合講演会前稿集, pp. 111~112, 1975

③ 本実験における動的載荷5~6日の載荷からデータを得ていて、この程度の繰り返し載荷による発熱は観察されなかった。

本実験研究は筆者等と北畠昭一、鎌田博、佐川一行が行ったものであり、筆者等が2人ともまとめたことを付記する。